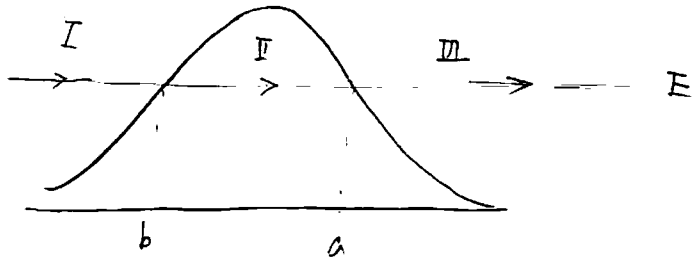


6.4. トンネリング



Region III : $\psi(x) = \frac{+ic}{\sqrt{k(x)}} e^{i \int_a^x k(x') dx' - \frac{i}{4}\pi}$

$$= \frac{+ic}{\sqrt{k(x)}} \left\{ \cos \left(\int_a^x k(x') dx' - \frac{\pi}{4} \right) + i \sin \left(\int_a^x k(x') dx' - \frac{\pi}{4} \right) \right\}$$

Region II : $\psi(x) = \frac{c}{\sqrt{\gamma(x)}} e^{\int_x^a \gamma(x') dx'} + \frac{ic}{2\sqrt{\gamma(x)}} e^{-\int_x^a \gamma(x') dx'}$

$$= \frac{c}{\sqrt{\gamma(x)}} e^{\int_b^a \gamma(x') dx' - \int_b^x \gamma(x') dx'}$$

Region I : $\frac{ic}{\sqrt{k(x)}} e^{\int_b^a \gamma(x') dx'} \cos \left(\int_x^a k(x') dx' - \frac{\pi}{4} \right)$

$$= \frac{c}{\sqrt{k(x)}} e^{\int_b^a \gamma(x') dx'} \left\{ e^{i \int_x^a k(x') dx' - \frac{i\pi}{4}} + e^{-i \int_x^a k(x') dx' + \frac{i\pi}{4}} \right\}$$

◦ phase shift

トンネル確率：入射フラックスと透過フラックスの比

$$\boxed{P = e^{-2 \int_b^a \gamma(x) dx}} = e^{-2 \int_b^a \sqrt{\frac{2m}{\hbar^2} (V(x)-E)} dx}$$

• m が大きいと P 小さい

(note) a と b が 近いと 接続公式が 破綻

→ 一様近似

$$P = \frac{1}{1 + e^{2 \int_b^a \gamma(x) dx}}$$

(note) $E > V_b$ のとき 一様近似は成立

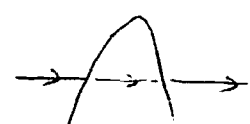
→ a, b は 複素数

$$E = V_0 - \frac{1}{2} m \omega^2 x^2$$

$$x = \pm \sqrt{\frac{2}{m \omega^2} (V_0 - E)}$$

(note) $V(x) = V_0 - \frac{1}{2} m \omega^2 x^2$ のとき

$$P = \frac{1}{1 + e^{-\frac{2\pi}{\hbar\omega} (E - V_b)}}$$



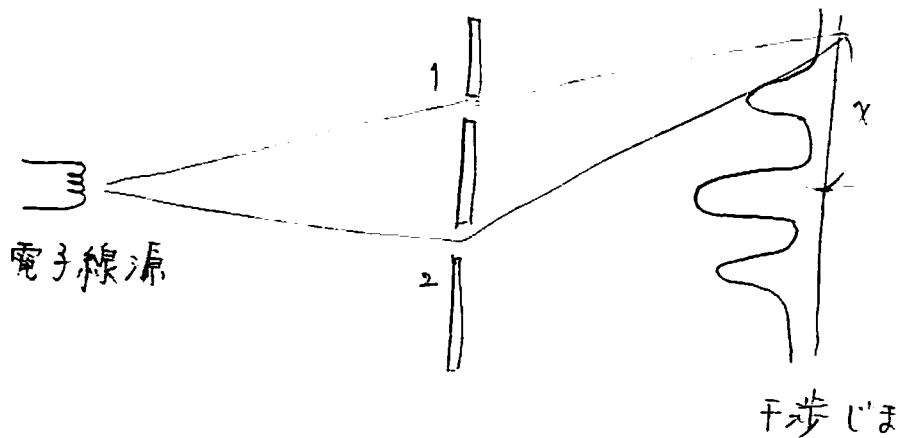
$\leftrightarrow P_{WKB}$ の一致

7. 経路積分による量子力学の定式化

参考文献: R.P. アインマン, A.R. ハーリス
「アインマン経路積分と量子力学」

7.1 経路積分の考え方

= 重スリットの問題



振幅: $\phi(x) = \phi_1(x) + \phi_2(x)$

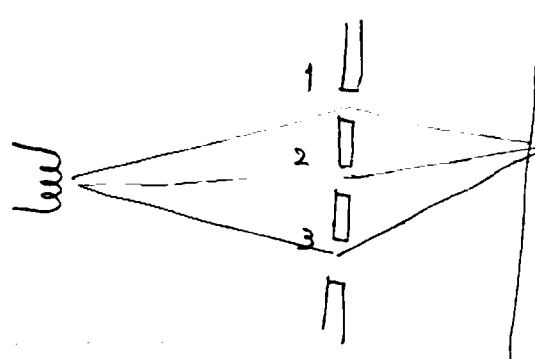
$$\phi(x) = |\phi_1(x)|^2 + |\phi_2(x)|^2 + (\phi_1\phi_2^* + \phi_1^*\phi_2)$$

↑ スリット 1 を通過し x に到達
↑ スリット 2 を通過

確率:

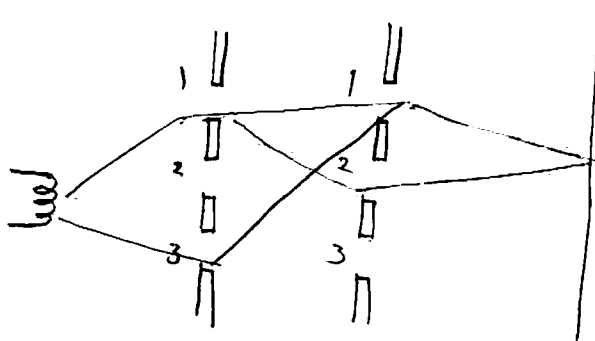
$$P(x) = |\phi(x)|^2 = |\phi_1(x)|^2 + |\phi_2(x)|^2 + \underbrace{(\phi_1\phi_2^* + \phi_1^*\phi_2)}_{干涉項}$$

・スリットが 3つある場合

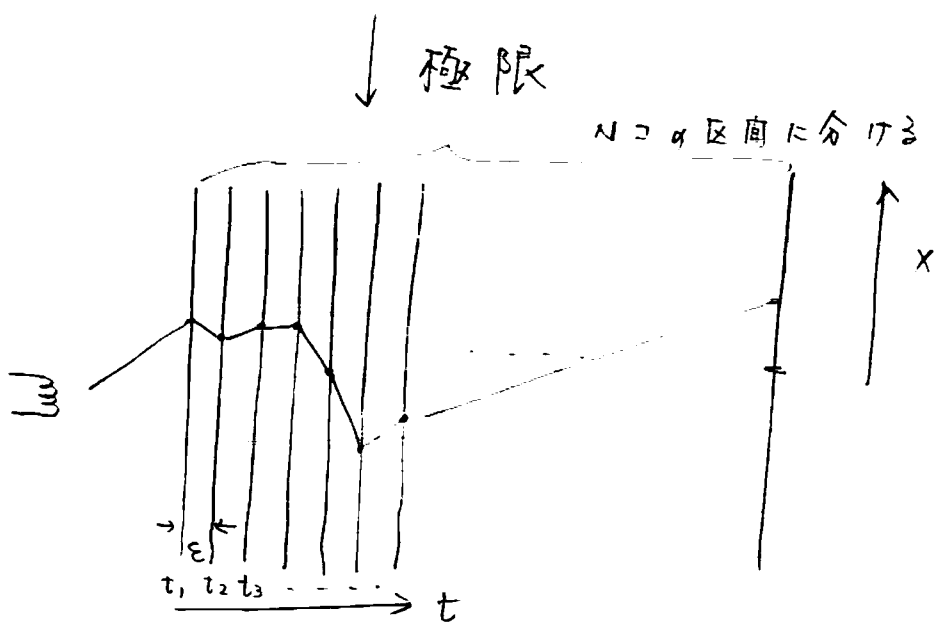


$$\phi(x) = \phi_1(x) + \phi_2(x) + \phi_3(x)$$

・スクリーンを2つ置いた場合



$$\begin{aligned}\Phi(x) = & \phi_{11}(x) + \phi_{12}(x) + \phi_{13}(x) \\ & + \phi_{21}(x) + \phi_{22}(x) + \phi_{23}(x) \\ & + \phi_{31}(x) + \phi_{32}(x) + \phi_{33}(x) = \sum_{i: \text{経路}} \phi_i(x)\end{aligned}$$



$$\begin{aligned}\Phi(x) = K(x_i, x_f) = \lim_{\epsilon \rightarrow 0} & \int dx_1 \int dx_2 \cdots \int dx_{N-1} \\ & \times \underbrace{\phi(x_1, x_2, \dots, x_{N-1})}_{e^{\frac{i}{\hbar} \int_{t_i}^{t_f} L(x, \dot{x}, t) dt}} = e^{\frac{i}{\hbar} \int_{t_i}^{t_f} L(x, \dot{x}, t) dt}\end{aligned}$$

9.2. 経路積分

初期座標 $|x_i\rangle$ $\xrightarrow{\text{時間 } T}$ 終座標 $|x_f\rangle$

遷移振幅: $K(x_f, x_i, T) = \langle x_f | e^{-i\hat{H}T/\hbar} | x_i \rangle$
 $\hat{H} = \frac{-\hbar^2}{2m} \frac{d^2}{dx^2} + V(x)$

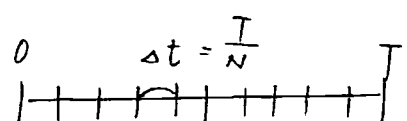
(note) 時間推進演算子:

初期状態 $|\phi_i\rangle$ $|\phi(t)\rangle =$
 \rightarrow 時間 t 後の状態 $\hat{U}(t, 0) |\phi_i\rangle$

↓ 時間 T 依存のシュレーディンガー方程式 $i\hbar \dot{\phi} = H\phi$

$$i\hbar \dot{u} = Hu \quad \rightarrow u = e^{-i\hat{H}t/\hbar}$$

■ 時間 1>ターバル $(0, T)$ を N 等分する: $0, \dots, t_n = n\Delta t, \dots, t_N = T$



$$(t = \frac{T}{N})$$

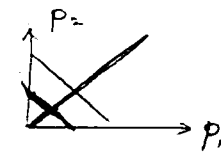
$$e^{-i\hat{H}T/\hbar} = \underbrace{e^{-i\hat{H}\Delta t/\hbar} \cdot e^{-i\hat{H}\Delta t/\hbar} \cdots \cdots \cdot e^{-i\hat{H}\Delta t/\hbar}}$$

$$= \lim_{N \rightarrow \infty} \left[(1 - i\hat{H}\Delta t/\hbar) \right] \left[(1 - i\hat{H}\Delta t/\hbar) \cdots \cdots \right] \left[(1 - i\hat{H}\Delta t/\hbar) \right]$$

$$= \lim_{N \rightarrow \infty} \int dx_0 \cdots dx_N \langle x_N | \prod_{i=1}^N \langle x_i | 1 - i\hat{H}\Delta t/\hbar | x_{i-1} \rangle | x_0 \rangle$$

$$x \langle x_0 |$$

$$\begin{aligned} u' &= p_1 - p_2 \\ p' &= \frac{p_1 + p_2}{2} \end{aligned}$$



$$\begin{aligned} p_1 x_1 - p_2 x_2 &= (p' + \frac{u}{2})(x' + \frac{v}{2}) - (p' - \frac{u}{2})(x' - \frac{v}{2}) \\ &= p'v + ux' \end{aligned}$$

(note) $\hat{H} = \int \frac{dp' du dx'}{2\pi\hbar} e^{ip'v/\hbar} |x' + \frac{1}{2}v\rangle \langle x' - \frac{1}{2}v| \cdot H_w(p', x')$

$$\begin{aligned} H_w(p', x') &= \int du \langle p' + \frac{u}{2} | \hat{H} | p' - \frac{u}{2} \rangle e^{ix'v/\hbar} \\ &= \frac{p'^2}{2m} + V(x') \end{aligned}$$

(証明)

$$\hat{H} = \int dp_1 dp_2 dx_1 dx_2 |x_1\rangle \langle x_1 | p_1 \rangle \langle p_1 | \hat{H} | p_2 \rangle \langle p_2 | x_2 \rangle \langle x_2 |$$

$$= \int \frac{dp_1 dp_2 dx_1 dx_2}{2\pi\hbar} |x_1\rangle \langle p_1 | \hat{H} | p_2 \rangle \langle x_2 | \cdot e^{i(p_1 x_1 - p_2 x_2)/\hbar}$$

$$(p_1, p_2, x_1, x_2) \xrightarrow{\text{変数変換}} (p, u, x', v)$$

$$\begin{aligned} p_1 &= p' + \frac{u}{2} & x_1 &= x' + \frac{v}{2} \\ p_2 &= p' - \frac{u}{2} & x_2 &= x' - \frac{v}{2} \end{aligned}$$

$$\begin{aligned} &= \int \frac{dp' du dx'}{2\pi\hbar} |x' + \frac{v}{2}\rangle \langle x' - \frac{v}{2}| \cdot e^{ip'v/\hbar} \\ &\quad \times \underbrace{\int du \langle p' + \frac{u}{2} | \hat{H} | p' - \frac{u}{2} \rangle}_{''} \cdot e^{iux'/\hbar} \\ &\quad H_w(p', x') \end{aligned}$$

$$H_w(p, x) = \int du \langle p + \frac{u}{2} | \frac{p^2}{2m} + V(x) | p - \frac{u}{2} \rangle e^{ixu/\hbar}$$

$$\begin{aligned} &= \int du e^{ixu/\hbar} \left\{ \frac{(p + \frac{u}{2})^2}{2m} \delta(u) + \int dx' V(x') \underbrace{\langle p + \frac{u}{2} | x' \rangle \langle x' | p - \frac{u}{2} \rangle}_{\frac{1}{2\pi\hbar} e^{i(x'(x-\frac{u}{2}) - x(-\frac{u}{2}))}} \right\} \\ &\quad \frac{1}{2\pi\hbar} e^{i(x'(x-\frac{u}{2}) - x(-\frac{u}{2}))} \end{aligned}$$

$$= \frac{p^2}{2m} + \int dy dx' \underbrace{\frac{e^{i(y(x-x')/\hbar)}}{2\pi\hbar} \delta(x-x')}_{V(x')} = \frac{p^2}{2m} + V(x)$$

$$\int \frac{dp_i}{2\pi\hbar} e^{ip_i(x_i - x_{i-1})} = \delta(x_i - x_{i-1})$$

2

$$\langle x_i | \hat{H} | x_{i-1} \rangle = \int \frac{dp' dv dx'}{2\pi\hbar} \langle x_i | x' + \frac{v}{2} \rangle \langle x' - \frac{v}{2} | x_{i-1} \rangle$$

$$x H_w(p', x') \cdot e^{ip'v/\hbar}$$

$$\begin{aligned} x' + \frac{v}{2} &= x_i \\ x' - \frac{v}{2} &= x_{i-1} \end{aligned} \rightarrow \begin{aligned} x' &= \frac{x_i + x_{i-1}}{2} \\ v &= x_i - x_{i-1} \end{aligned}$$

$$= \int \frac{dp'}{2\pi\hbar} H_w(p', \frac{x_i + x_{i-1}}{2}) e^{ip'(x_i - x_{i-1})}$$

2

$$e^{-i\hat{H}T/\hbar} = \lim_{N \rightarrow \infty} \int dx_0 \cdots dx_N |x_N \rangle$$

$$\times \prod_{i=1}^N \left\{ \int \frac{dp_i}{2\pi\hbar} e^{ip_i(x_i - x_{i-1})/\hbar} \underbrace{\left[1 - \frac{i}{\hbar} \Delta t H_w(p_i, \frac{x_i + x_{i-1}}{2}) \right]}_S \right\}$$

$$\times \langle x_0 | e^{-\frac{i}{\hbar} \Delta t H_w}$$

運動量積分を実行：

$$\begin{aligned}
 & \int dp \ e^{ip\alpha x/\hbar} e^{-\frac{i\alpha t}{\hbar} \frac{p^2}{2m}} \\
 &= \int dp \ \exp \left\{ -\frac{i\alpha t}{2m\hbar} \left(p^2 - \frac{2m\alpha x}{\alpha t} p \right) \right\} \\
 &= \int dp \ \exp \left\{ \frac{i\alpha t}{2m\hbar} \left(p - \frac{m\alpha x}{\alpha t} \right)^2 + \frac{im}{2\alpha t\hbar} (\alpha x)^2 \right\} \\
 &= \sqrt{\frac{(2m\hbar)\pi}{i\alpha t}} e^{+\frac{im}{2\alpha t\hbar} (\alpha x)^2}
 \end{aligned}$$

↓

$$K(x_f, x_i, T) = \langle x_f | e^{-i\hat{H}T/\hbar} | x_i \rangle$$

$$= \lim_{N \rightarrow \infty} \int dx_1 \dots dx_{N-1} \prod_{i=1}^N \sqrt{\frac{m}{2\pi\hbar \cdot i\alpha t}} e^{+\frac{im}{2\alpha t\hbar} (x_i - x_{i-1})^2 - \frac{i\alpha t}{\hbar} V(\frac{x_i+x_{i-1}}{2})}$$

$$\begin{aligned}
 x_0 &= x_i \\
 x_N &= x_f
 \end{aligned}$$

$$\begin{aligned}
 &= \lim_{N \rightarrow \infty} \sqrt{\frac{m}{2\pi\hbar \cdot i\alpha t}} \prod_{i=1}^{N-1} \int \left(\sqrt{\frac{m}{2\pi\hbar i\alpha t}} dx_i \right) \\
 &\quad \times e^{\frac{i}{\hbar} \alpha t \left(\frac{m}{2} \left(\frac{x_i - x_{i-1}}{\alpha t} \right)^2 - V(\frac{x_i + x_{i-1}}{2}) \right)}
 \end{aligned}$$

$$\begin{aligned}
 x_0 &= x_i \\
 x_N &= x_f
 \end{aligned}$$

$$= \int \mathcal{D}[x(t)] e^{\frac{i}{\hbar} S(x, T)}$$

$$\begin{aligned}
 x(0) &= x_i \\
 x(T) &= x_f
 \end{aligned}$$

$$S(x, T) = \int_0^T dt L(x, \dot{x}) = \int_0^T dt \left(\frac{m}{2} \dot{x}^2 - V(x) \right)$$

7.3. 様々な表示

- $|\phi_i\rangle \rightarrow |\phi_f\rangle$ の遷移:

$$K_{fi}(T) = \langle \phi_f | e^{-i\hat{H}T/\hbar} |\phi_i \rangle$$

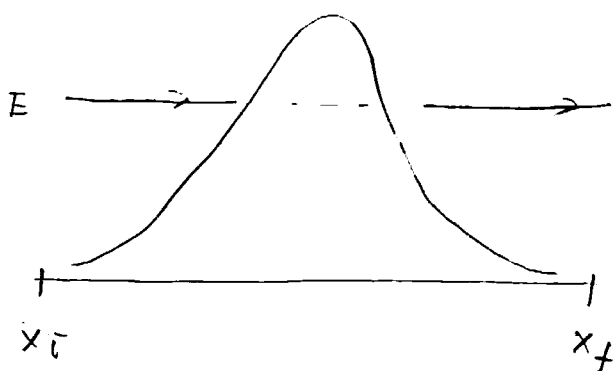
$$= \int dx_i dx_f \quad \phi_f^*(x) \phi_i(x) \quad K(x_f, x_i, T)$$

- エネルギー表示

エネルギーが固定され $T=3$ の場合 \rightarrow フーリエ変換

$$G(x_f, x_i, E) = \frac{1}{\sqrt{\hbar}} \int_0^\infty dT \quad K(x_f, x_i, T) e^{iET/\hbar}$$

cf. "トネリコ"



$$P(E) = |G(x_f, x_i, E)|^2$$

7.4 半古典近似

(note) 停留位相近似

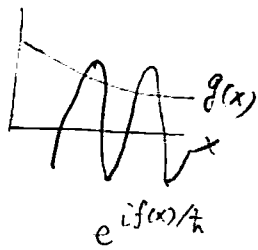
$$I = \int_a^b g(x) e^{if(x)/\hbar} dx$$

$\hbar \rightarrow 0$ のときは $e^{if(x)/\hbar}$ は激しく振動する関数
(但し停留点以外 $f'(x_\alpha) = 0$)

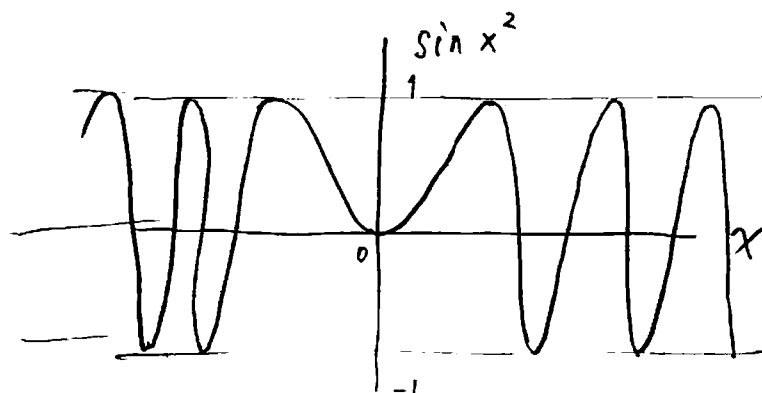
停留点近傍では正負が打ち消し合う

$$I \sim g(x_\alpha) \int_{-\infty}^{\infty} e^{\frac{i}{\hbar} (f(x_\alpha) + \frac{1}{2}(x-x_\alpha)^2 f''(x_\alpha))} dx$$

$$= g(x_\alpha) e^{\frac{i}{\hbar} f(x_\alpha)} \sqrt{\frac{2\pi\hbar}{i f''(x_\alpha)}}$$



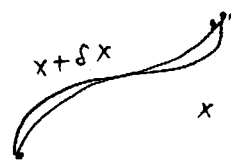
cf. $e^{ix^2} = \cos x^2 + i \sin x^2$



$$K(x_i, x_f, T) = \int_{\substack{x(t_0)=x_i \\ x(T)=x_f}} dl[x(t)] e^{iS[x, T]/\hbar}$$

停留点(点)：
経路

$$\delta S = S[x + \delta x] - S[x] = 0$$



$$\begin{aligned} &= \int_0^T dt L(\dot{x} + \delta \dot{x}, x + \delta x, t) - S[x] \\ &= \int_0^T dt [L(\dot{x}, x, t) + \delta \dot{x} \frac{\partial L}{\partial \dot{x}} + \delta x \frac{\partial L}{\partial x}] - S[x] \\ &= \cancel{\delta x \frac{\partial L}{\partial \dot{x}}} \Big|_0^T - \int_0^T dt \delta x \left[\frac{d}{dt} \left(\frac{\partial L}{\partial \dot{x}} \right) - \frac{\partial L}{\partial x} \right] = 0 \end{aligned}$$

$$\downarrow \quad \frac{d}{dt} \left(\frac{\partial L}{\partial \dot{x}} \right) - \frac{\partial L}{\partial x} = 0 \quad \leftrightarrow \text{古典的ラグランジ方程式}$$

↓

$$\delta S = 0 \quad \text{for } x(t) = x_{cl}(t)$$

半古典近似：

$$x(t) = x_{cl}(x) + \delta x(t)$$

↓

$$V(x) \sim V(x_{cl}) + \frac{(\delta x)^2}{2} V''(x_{cl}) + \dots$$

↓

$$K(x_i, x_f, T) \sim e^{-\frac{1}{2} i \pi \nu} \left| \frac{i}{2\pi\hbar} \frac{\partial^2 S_{cl}}{\partial x_i \partial x_f} \right|^{1/2} e^{\frac{i}{\hbar} S_{cl}}$$

半古典的近似は 2 次関数に対する exact.